

## کمی کردن عملکرد بهره‌برداری کانال‌های آبیاری در شرایط تغییر نیاز با استفاده از مدل هیدرودینامیک و تحلیل جریان غیرماندگار

محمدجواد منعم<sup>۱</sup>، حسام قدوسی<sup>۲</sup> و علیرضا عمامدی<sup>۳</sup>

### چکیده

به علت افزایش روز افزون تقاضای آب آبیاری در جهان بخصوص در مناطقی با منابع آب محدود، بهره‌وری آب آبیاری باید افزایش یابد. تلاش‌هایی جهت بهبود سیستم‌های هیدرولیکی پیچیده از نظر فیزیکی و سازه‌ای انجام شده است، ولی فقدان منابع مالی و زیربنایی مانع بزرگی در بهبود و توسعه فیزیکی و سازه‌ای شبکه‌ها، به خصوص در کشورهای در حال توسعه می‌باشد. بنابراین راهکار عملی ارتقاء بهره‌وری، اداره کارآمد و مدیریت مناسب سیستم می‌باشد. یکی از مهم‌ترین عواملی که در شبکه‌های آبیاری سالانه باعث تلفات قابل توجه آب می‌شود، وجود جریانات غیرماندگار و مدیریت نادرست اینگونه جریانات در شبکه‌های آبیاری می‌باشد. از مهم‌ترین عوامل ایجاد این جریانات، اجرای برنامه‌های تحويل و توزیع آب در سطح شبکه و انجام عملیات بهره‌برداری برای پاسخگویی به تغییرات نیاز می‌باشد. در این تحقیق جریان‌های غیرماندگار ایجاد شده در کانال‌های آبیاری در اثر تغییرات نیاز آبگیرها با استفاده از مدل هیدرودینامیک ICSS در کanal E1R1 شبکه آبیاری دز شبیه‌سازی شده و مورد تجزیه و تحلیل قرار گرفته است تا بر مبنای آن بتوان راندمان یا عملکرد بهره‌برداری را بصورت کمی بیان نمود. شاخص‌های راندمان و کفایت تحويل آب به آبگیرهای این کanal در دو حالت اجرا و عدم اجرای عملیات بهره‌برداری و تحويل ۶ ساعته آب در هشت گزینه مختلف افزایش و کاهش دبی در سراب کanal بدست آمده است. نتایج نشان داد که با استفاده از مدل هیدرودینامیک و تحلیل جریان غیرماندگار می‌توان راندمان یا عملکرد بهره‌برداری را بصورت کمی تعیین نمود و سپس با اجرای عملیات بهره‌برداری مناسب، عملکرد شبکه آبیاری را افزایش داد.

**واژه‌های کلیدی:** جریان‌های غیرماندگار، بهبود عملکرد، مدل هیدرودینامیک ICSS، شبکه آبیاری دز

۱. دانشیار گروه سازه‌های آبی، دانشکده کشاورزی، دانشگاه تربیت مدرس

۲. استادیار گروه مهندسی آب، دانشکده کشاورزی، دانشگاه زنجان

۳. استادیار گروه مهندسی آب، دانشکده کشاورزی، دانشگاه مازندران

روش‌های بهره‌برداری شبکه انتقال و توزیع آب  
قریچای واقع در استان آذربایجان شرقی ارزیابی  
شد. در این تحقیق از بین سه روش بهره‌برداری  
جريان مداوم با دبی ثابت، جريان مداوم با دبی متغیر  
و جريان متناوب روش توزیع جريان مداوم با دبی  
متغیر عنوان بهترین گزینه بهره‌برداری تعیین گردید  
(کسب‌دوز و همکاران، ۱۳۷۷). در سال ۲۰۰۲ نیز با  
استفاده از مدل هیدرودینامیک توسعه داده شده،  
سیستم اتوماسیون حوزه رایتلند<sup>۲</sup> در هلند برای چهار  
ایستگاه پمپاژ با ظرفیت کل ۱۵۰ مترمکعب بر ثانیه  
ارائه شد. هدف از این مطالعه به جای افزایش ظرفیت  
پمپاژ، کنترل دقیق سطح آب در کانال‌ها بوسیله  
اتوماسیون بهره‌برداری از ایستگاه‌های پمپاژ بوده  
است (شورمانز، ۲۰۰۲). همچنین با استفاده از  
مدل‌های هیدرودینامیک در کانال گاورنمنت<sup>۳</sup> در  
شرق آمریکا و استفاده مؤثر از آن مشخص گردید که  
با انجام این پروژه می‌توان از تلفات ۲۸۵۰۰  
ایکر-فوت آب جلوگیری کرد و آنرا جهت احیاء  
زیستگاه آبزیان به رودخانه کلرادو منحرف نمود  
(خلسا و همکاران، ۲۰۰۲). با وجود تحقیقات انجام  
گرفته در موارد اشاره شده در هیچکدام از آنها  
دستورالعمل بهره‌برداری جهت بهبود عملکرد ارائه  
نشده است. لذا در این تحقیق در نظر است با استفاده  
از مدل هیدرودینامیک ICSS به ارزیابی عملکرد  
بهره‌برداری شبکه‌های آبیاری در شرایط تغییرات نیاز  
پایین دست پرداخته شود و شیوه مناسب عملیات  
بهره‌برداری توصیه گردد.

## مواد و روش‌ها

معرفی کanal E1R1 شبکه آبیاری دز  
کanal E1R1 واقع در شبکه آبیاری دز یک کanal  
بتنی بطول ۲۸۳۰/۵ متر با مقطع ذوزنقه‌ای و  
ظرفیت حداقل ۲/۴۷ مترمکعب بر ثانیه می‌باشد.  
شكل ۱ نمای کلی کanal را نشان می‌دهد. جدول ۱

## مقدمه

محدودیت منابع آب و پایین بودن عملکرد اغلب  
شبکه‌های آبیاری، ضرورت توجه بیش از پیش به  
بازنگری و بهبود عملکرد شبکه‌ها و بهره‌برداری بهینه  
از منابع موجود را ایجاب می‌کند. عملکرد روش‌های  
بهره‌برداری در شبکه انتقال و توزیع آب تابع رفتار  
هیدرولیکی جريان در شبکه می‌باشد. هیدرولیک  
جريان در یک شبکه متأثر از عواملی مانند نوع  
سیستم کنترل، ساختمان فیزیکی شبکه، نوع روش  
بهره‌برداری و بالاخره سیاست‌های مدیریتی تخصیص  
و تحويل آب می‌باشد. مطالعه اثر عوامل فوق بر رفتار  
هیدرولیکی جريان و ارزیابی دقیق عملکرد روش‌های  
 مختلف بهره‌برداری با استفاده از مدل‌های ریاضی  
توانمند میسر خواهد بود. با توجه به رفتار غیرماندگار  
جريان در اثر اجرای عملیات بهره‌برداری (برای  
پاسخگویی به تغییرات نیاز و مدیریت نامناسب آن)،  
تحويل آب به آبگیرها معمولاً با مازاد یا کمکرد  
تحويل توأم بوده و موجب کاهش راندمان یا عملکرد  
بهره‌برداری می‌گردد. هدف اساسی این تحقیق کمی  
نمودن عملکرد بهره‌برداری از کانال‌های آبیاری در  
شرایط تغییرات نیاز و بهبود آن با اعمال مدیریت  
مناسب می‌باشد.

در زمینه کمی نمودن عملکرد شبکه‌های آبیاری  
تا کنون تحقیقات مختلفی صورت گرفته است.  
بعنوان نمونه با استفاده از مدل هیدرودینامیک  
MODIS عملکرد کanal اصلی کشتیا<sup>۱</sup> در بنگلادش  
برای سه نوع برنامه تحويل آب مورد ارزیابی قرار  
گرفت. در مطالعه فوق سه نوع روش تحويل گردشی،  
پیوسته با تغییرات جزئی و پیوسته با تغییرات کلی  
شبیه‌سازی شد و چگونگی توزیع و تحويل آب به  
آبگیرها تحت شرایط مذکور بررسی و ارزیابی گردید  
و مناسب‌ترین روش تحويل آب مناسب با سیستم  
کنترل مربوطه توصیه شد (منعم، ۱۳۷۱). همچنین  
با استفاده از مدل هیدرودینامیکی ICSS، عملکرد

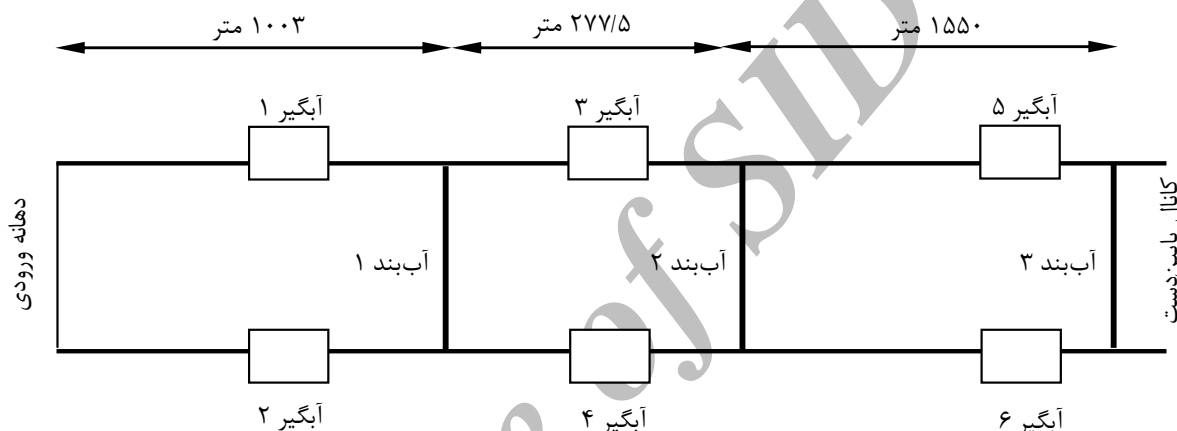
2. Rinland

3. Government

1. Koshtia

طول این مسیر متفاوت و حداقل  $12/000$  و حداکثر  $0/0012$  است. عرض کف از ابتدای کanal تا آب بند ۱ معادل  $1/5$  متر و از این نقطه تا محل آب بند ۳ معادل ۱ متر است. شیب جانبی کanal در تمامی طول مسیر ( $H:1.5V$ ) طراحی و اجراء شده است.

نیز مشخصات فیزیکی کanal و سازه‌های قابل تنظیم در کanal را نشان می‌دهد (محسنی موحد، ۱۳۸۱الف). این کanal مجهز به شش آبگیر ثقلی با دریچه‌های کشوئی مستطیلی و دایره‌ای است که آب کشاورزی اراضی پایین دست را تأمین می‌نماید. تنظیم تراز سطح آب در کanal برای هر زوج آبگیر توسط یک سازه تنظیم انجام می‌شود. شیب کanal در



شکل ۱: شمای کلی کanal E1R1 و سازه‌های مربوط.

افزایش یابد و در سناریوهای کاهشی دبی ورودی به کanal در حالت اول  $1/5 \text{ m}^3 \text{s}^{-1}$  بوده که باید تا  $1/2$  در حالت دوم کاهش یابد. با توجه به جدول ۲ جزئیات ۸ سناریوی در نظر گرفته شده جهت شبیه‌سازی را می‌توان به صورت زیر خلاصه نمود:

- ۱- سناریوهای ۱ و ۲ بترتیب افزایش و کاهش نیاز کanal پایین دست با توجه به بسته بودن کلیه آبگیرها می‌باشند.
- ۲- سناریوهای ۳، ۵ و ۷ افزایش نیاز آبگیرهای ۵ و ۶ در شرایط آبگیری یا عدم آبگیری آبگیرهای ۱، ۲، ۳ و ۴ می‌باشند.

**تشریح گزینه‌های بهره‌برداری**  
به منظور بررسی رفتار جریان در شرایط تغییرات نیاز و تعیین احجام تلفات و شاخص‌های بهره‌برداری در دو حالت اجرا و عدم اجرای عملیات بهره‌برداری سناریوهای مختلفی از تغییرات نیاز کanal پایین دست و آبگیرهای کanal E1R1 در نظر گرفته شد و با استفاده از مدل ریاضی هیدرودینامیکی ICSS شبیه‌سازی شدند. سناریوهای بررسی شده بطور کلی افزایش و یا کاهش نیاز پایین دست به میزان ۲۰ درصد دبی ورودی به کanal می‌باشند. در سناریوهای افزایشی دبی ورودی به کanal در حالت اول  $1 \text{ m}^3 \text{s}^{-1}$  بوده که باید تا  $1/2 \text{ m}^3 \text{s}^{-1}$  در حالت دوم

بدون تاثیر تنظیم سازه‌ها تعیین نمود. سپس، در حالت دوم، متناسب با نتایج بدست آمده در حالت اول یعنی بر اساس زمان رسیدن امواج جریان غیرماندگار به سازه‌ها، میزان تنظیم آببندها و آبگیرها بمنظور تحويل دبی مورد نیاز تعیین شد و این‌بار افزایش یا کاهش جریان ورودی به کanal همراه با عملیات تنظیم سازه‌ها شبیه‌سازی شد (گزینه‌های با انجام عملیات بهره‌برداری). بنابراین در مجموع ۱۴ گزینه مختلف از سناریوهای در نظر گرفته شده شبیه‌سازی گردید که به منظور خلاصه‌سازی و سهولت تشریح نتایج، این گزینه‌ها در جدول ۳ کد گذاری شده‌اند.

-۳- سناریوهای ۴، ۶ و ۸ کاهش نیاز آبگیرهای ۵ و ۶ در شرایط آبگیری یا عدم آبگیری آبگیرهای ۱، ۲، ۳ و ۴ می‌باشند.

#### شبیه‌سازی گزینه‌های بهره‌برداری

پس از تعیین گزینه‌های مختلف بهره‌برداری برای تعیین مقادیر شاخص‌های بهره‌برداری و زمانبندی اجرای عملیات بهره‌برداری، سناریوهای ۳ تا ۸ در دو حالت مختلف جریان شبیه‌سازی شدند (در سناریوهای ۱ و ۲ کلیه آبگیرها بسته می‌باشند). حالت اول افزایش یا کاهش جریان ورودی به کanal بدون آنکه هیچگونه عملیات تنظیم سازه‌های آبگیر و آببند اجرا شود شبیه‌سازی شد (گزینه‌های بدون انجام عملیات بهره‌برداری) تا بتوان زمان حرکت جریان غیرماندگار در طول کanal را

جدول ۱: مشخصات کanal E1R1 از شبکه آبیاری در.

| باشه پایین دست   | سازه بالا دست      | عرض کف (متر) | شیب طولی | رقوم پایین دست (متر) | رقوم بالا دست (متر) | طول بازه (متر) | کیلومتر       | باشه |
|------------------|--------------------|--------------|----------|----------------------|---------------------|----------------|---------------|------|
| آبگیر روزنه‌ای ۱ | ورودی با کنترل دبی | ۱/۵          | ۰/۰۰۶۱۵  | ۱۵۰/۳۲               | ۱۵۰/۴۷              | ۱۰۰۰           | ۰-۱           | ۱    |
| آبگیر روزنه‌ای ۲ | -                  | ۱/۵          | ۰/۰۰۰۱   | ۱۵۰/۳۲               | ۱۵۰/۳۲              | ۱              | ۱-۱/۰۰۱       | ۲    |
| سازه آببند ۱     | -                  | ۱/۵          | ۰/۰۰۰۱   | ۱۵۰/۳۲               | ۱۵۰/۳۲              | ۲              | ۱/۰۰۱-۱/۰۰۳   | ۳    |
| ادامه کanal      | -                  | ۱            | ۰/۰۰۰۲۲  | ۱۴۹/۸۱               | ۱۴۹/۸۲              | ۴/۵            | ۱/۰۰۳-۱/۰۰۷۵  | ۴    |
| آبگیر روزنه‌ای ۳ | -                  | ۱            | ۰/۰۰۱۱۷  | ۱۵۰/۰۳               | ۱۵۰/۳۲              | ۲۷۰            | ۱/۰۰۷۵-۱/۲۷۷۵ | ۵    |
| آبگیر روزنه‌ای ۴ | -                  | ۱            | ۰/۰۰۱    | ۱۵۰/۰۲               | ۱۵۰/۰۳              | ۱              | ۱/۲۷۷۵-۱/۲۷۸۵ | ۶    |
| سازه آببند ۲     | -                  | ۱            | ۰/۰۰۱    | ۱۵۰/۰۰               | ۱۵۰/۰۲              | ۲              | ۱/۲۷۸۵-۱/۲۸۰۵ | ۷    |
| ادامه کanal      | -                  | ۱            | ۰/۰۰۰۲۸  | ۱۴۹/۴۹               | ۱۴۹/۵               | ۳/۵            | ۱/۲۸۰۵-۱/۲۸۳۵ | ۸    |
| ادامه کanal      | -                  | ۱            | ۰/۰۰۱۰۹  | ۱۴۸/۹۰               | ۱۴۹/۷               | ۷۲۹/۵          | ۱/۲۸۳۵-۲/۰۱۳  | ۹    |
| آبگیر روزنه‌ای ۵ | -                  | ۱            | ۰/۰۰۰۱۲  | ۱۴۸/۴۷               | ۱۴۸/۵۷              | ۸۱۴            | ۲/۰۱۳-۲/۸۲۷   | ۱۰   |
| آبگیر روزنه‌ای ۶ | -                  | ۱            | ۰/۰۰۲    | ۱۴۸/۴۷               | ۱۴۸/۴۷              | ۱              | ۲/۸۲۷-۲/۸۲۸   | ۱۱   |
| سازه آببند ۳     | -                  | ۱            | ۰/۰۰۰۵   | ۱۴۸/۴۷               | ۱۴۸/۴۷              | ۲              | ۲/۸۲۸-۲/۸۳۰   | ۱۲   |

اول  $1/5 \text{ m}^3\text{s}^{-1}$  بوده که باید تا  $1/2 \text{ m}^3\text{s}^{-1}$  در حالت دوم کاهش یابد. با توجه به جدول ۲ جزئیات ۸ سناریوی در نظر گرفته شده جهت شبیه‌سازی را می‌توان به صورت زیر خلاصه نمود:

سناریوهای بررسی شده بطور کلی افزایش و یا کاهش نیاز پایین دست به میزان ۲۰ درصد دبی ورودی به کanal می‌باشند. در سناریوهای افزایشی دبی ورودی به کanal در حالت اول  $1 \text{ m}^3\text{s}^{-1}$  بوده که باید تا  $1/2 \text{ m}^3\text{s}^{-1}$  در حالت دوم افزایش یابد و در سناریوهای کاهشی دبی ورودی به کanal در حالت

بدون آنکه هیچگونه عملیات تنظیم سازه‌های آبگیر و آببند اجرا شود شبیه‌سازی شد (گزینه‌های بدون انجام عملیات بهره‌برداری) تا بتوان زمان حرکت جریان غیرماندگار در طول کanal را بدون تاثیر تنظیم سازه‌ها تعیین نمود. سپس، در حالت دوم، متناسب با نتایج بدست آمده در حالت اول یعنی بر اساس زمان رسیدن امواج جریان غیرماندگار به سازه‌ها، میزان تنظیم آبیندها و آبگیرها بمنظور تحويل دبی مورد نیاز تعیین شد و این‌بار افزایش یا کاهش جریان ورودی به کanal همراه با عملیات تنظیم سازه‌ها شبیه‌سازی شد (گزینه‌های با انجام عملیات بهره‌برداری). بنابراین در مجموع ۱۴ گزینه مختلف از سناریوهای در نظر گرفته شده شبیه‌سازی گردید که به منظور خلاصه‌سازی و سهولت تشریح نتایج، این گزینه‌ها در جدول ۳ کد گذاری شده‌اند.

- سناریوهای ۱ و ۲ بترتیب افزایش و کاهش نیاز کanal پایین دست با توجه به بسته بودن کلیه آبگیرها می‌باشند.
  - سناریوهای ۳، ۵ و ۷ افزایش نیاز آبگیرهای ۵ و ۶ در شرایط آبگیری یا عدم آبگیری آبگیرهای ۱، ۲، ۳ و ۴ می‌باشند.
  - سناریوهای ۴، ۶ و ۸ کاهش نیاز آبگیرهای ۵ و ۶ در شرایط آبگیری یا عدم آبگیری آبگیرهای ۱، ۲، ۳ و ۴ می‌باشند.

## شبیه‌سازی گزینه‌های بهره‌برداری

پس از تعیین گزینه‌های مختلف بهره‌برداری برای تعیین مقادیر شاخص‌های بهره‌برداری و زمانبندی اجرای عملیات بهره‌برداری، سناریوهای ۳ تا ۸ در دو حالت مختلف جریان شبیه‌سازی شدند (در سناریوهای ۱ و ۲ کلیه آبگیرها بسته می‌باشند). حالت اول افزایش یا کاهش جریان ورودی به کanal

## جدول ۲: مشخصات سناریوهای شبیه‌سازی.

| نیاز حالت ثانویه ( $m^3 s^{-1}$ ) |         |         |         |         |         | نیاز حالت اولیه ( $m^3 s^{-1}$ ) |         |         |         |         |         |
|-----------------------------------|---------|---------|---------|---------|---------|----------------------------------|---------|---------|---------|---------|---------|
| آبگیر ۱                           | آبگیر ۲ | آبگیر ۳ | آبگیر ۴ | آبگیر ۵ | آبگیر ۶ | آبگیر ۱                          | آبگیر ۲ | آبگیر ۳ | آبگیر ۴ | آبگیر ۵ | آبگیر ۶ |
| -                                 | -       | -       | -       | -       | -       | 1/2                              | 1/2     | -       | -       | -       | -       |
| -                                 | -       | -       | -       | -       | -       | 1/2                              | 1/2     | -       | -       | -       | -       |
| -                                 | -       | -       | -       | -       | 0/2     | 0/2                              | 0/8     | 1/2     | -       | -       | -       |
| -                                 | -       | -       | -       | -       | 0/05    | 0/05                             | 1/1     | 1/2     | -       | -       | -       |
| -                                 | -       | -       | -       | -       | 0/1     | 0/1                              | 0/2     | 0/2     | -       | -       | -       |
| -                                 | -       | -       | -       | -       | 0/2     | 0/2                              | 0/6     | 1/2     | -       | -       | -       |
| -                                 | -       | -       | -       | -       | 0/05    | 0/05                             | 0/05    | 0/7     | 1/2     | -       | -       |
| -                                 | -       | -       | -       | -       | 0/05    | 0/05                             | 0/05    | 0/7     | 1/2     | -       | -       |
| 0/1                               | 0/1     | 0/1     | 0/1     | 0/2     | 0/2     | 0/4                              | 1/2     | 0/1     | 0/1     | 0/1     | 0/1     |
| 0/1                               | 0/1     | 0/1     | 0/1     | 0/05    | 0/05    | 0/7                              | 1/2     | 0/1     | 0/1     | 0/1     | 0/2     |

جدول ۳: کدگذاری گزینه‌های مختلف شبیه‌سازی جریان.

\*: بدون انجام عملیات پهنه های داری = Non operation

Operation = \*\*\* با انجام عملیات به هر داری

ماندگار و غیرماندگار در شبکه‌های آبیاری با انواع شکل مقطع کanal همراه با طیف قابل توجهی از سازه‌ها توأم با جریانات گسترشده ورودی و خروجی می‌باشد. شبیه‌سازی جریان ماندگار در این مدل با استفاده از معادلات جریان متغیرتدریجی ارائه شده توسط هندرسون انجام شده است (هندرسون، ۱۹۶۶). همچنین شبیه‌سازی جریان غیرماندگار با حل معادلات غیرماندگار متغیر تدریجی مجازی روباز معروف به معادلات سنت ونانت صورت گرفته است (استرلکوف، ۱۹۶۹). این معادلات با استفاده از روش تفاوت‌های محدود براساس سیستم چهار نقطه‌ای وزنی ارائه شده توسط (آمین، ۱۹۶۸) که از دقت، همگرائی، پایداری و صحت بالائی برخوردار است حل شده‌اند (منعم، ۱۳۷۵).

لازم به ذکر است که با توجه به نتایج تحقیقات قبلی از دقت مدل ICSS اطمینان حاصل گردیده است. در این مورد می‌توان به مقایسه نتایج کمیته کاری مدل‌های ریاضی، جامعه مهندسین عمران کانادا در ارزیابی مدل‌های ریاضی هیدرولیکی با نتایج آرمایشگاهی (ترسک، ۱۹۸۰) و نتایج واسنجی کامل مدل (فرسادی‌زاده، ۱۳۸۵) بمنظور کاربرد مدل در سیستم بهره‌برداری خودکار کanal اشاره نمود. به منظور آزمون مدل با شرایط واقعی و تعیین حدود اطمینان نسبت به کاربرد مدل در مسائل عملی، نتایج شبیه‌سازی مدل با شرایط اندازه‌گیری شده در کanal درجه سه L-72 در شبکه آبیاری قزوین مقایسه گردید (منعم، ۱۳۷۸). این کanal دارای مقطع ذوزنقه با عرض کف ۰/۶ متر و شیب جانبی ۱/۵ افقی به ۱ عمودی، ظرفیت ۶۵۰ لیتر بر ثانیه در ابتدا، و طول ۴۸۰۰ متر است که دو هیدرولگراف تدریجی و ناگهانی در آن مورد آزمون قرار گرفته است. خطای برآورد عمق جریان در محدوده ۱/۱۸ تا ۲/۶ درصد و خطای برآورد دبی برای هیدرگراف تدریجی که شرایط غالب در کanal های آبیاری است در محدوده ۰/۷ تا ۱/۴ درصد و برای هیدرگراف ناگهانی در محدوده ۱/۸ تا ۶/۶ درصد بوده است.

### شاخص‌های ارزیابی عملکرد

در این تحقیق، به منظور ارزیابی هر یک از گزینه‌ها، از شاخص‌های کفایت و راندمان تحويل معرفی شده توسط مولدن و گیتس طبق روابط ۱ و ۲ استفاده شده است (مولدن و گیتس، ۱۹۹۰).

کفایت تحويل (PA): شاخصی است که تناسب مقدار آب واقعی تحولی به آب مورد نیاز را منعکس می‌کند.

(۱)

$$PA = \frac{1}{T} \sum_{T} \left[ \frac{1}{R} \sum_{R} (Pa) \right]$$

$$Pa = \frac{Qd}{Qr}$$

$$Pa = 1$$

اگر  $Qd \leq Qr$   
در غیر اینصورت

راندمان تحويل (PF): شاخصی است که مازاد آب تحولی نسبت به آب مورد نیاز را منعکس می‌نماید.

(۲)

$$PF = \frac{1}{T} \sum_{T} \left[ \frac{1}{R} \sum_{R} (Pf) \right]$$

$$Pf = \frac{Qr}{Qd} \leq 1$$

$$Pf = 1$$

اگر  $Qr \leq Qd$   
در غیر اینصورت

در این روابط  $Qd$  و  $Qr$  به ترتیب معرف مقدار آب مورد نیاز و مقدار آب منشعب شده در عمل (به طور واقعی) برای انشعب X در دوره زمانی t بوده و نمادهای  $\frac{1}{T} \sum_{T}$  و  $\frac{1}{R} \sum_{R}$  به ترتیب بیان کننده متوسط زمانی و مکانی می‌باشند.

### معرفی مدل ICSS

در این تحقیق بمنظور شبیه‌سازی جریانات غیرماندگار در گزینه‌های مختلف از مدل هیدرودینامیک ICSS استفاده شده است. مدل هیدرودینامیکی ICSS در سال ۱۹۸۵ توسط مانز تهیه شد. این مدل قادر به شبیه‌سازی جریانات

مراحل فوق بمنظور کاهش مازاد یا کمبود دبی تحویلی به آبگیرهای مختلف در کلیه گزینه‌های تعیین شده بکار رفته است.

#### تعیین حجم تلفات و کمبود آب تحویلی

در سناریوهای افزایشی بدلیل ایجاد موج مثبت و در سناریوهای کاهشی بدلیل ایجاد موج منفی در طول کanal مقدار دبی تحویلی به آبگیرها بترتیب افزایش یا کاهش می‌باشد که تحویل آب اضافی به آبگیرها (تلفات) و کاهش آب تحویلی به آبگیرها (کمبود) نامیده می‌شود. در صورت عدم تنظیم سازه‌ها متناسب با شرایط جدید جریان، حجم تلفات یا کمبود آب تحویلی بسیار بیشتر خواهد بود. مقادیر احجام تلفات (اعداد مثبت) و کمبود (اعداد منفی) آب تحویلی به آبگیرهای مختلف و کanal پایین دست در کلیه گزینه‌ها (به جز گزینه ۱ و ۲) تعیین و در جداول ۴ و ۵ ارائه شده است. عنوان نمونه حجم تلفات در آبگیر ۴ در گزینه ۱۱ (بدون انجام عملیات بهره‌برداری و در حالت تحویل ۶ ساعته آب) برابر سطح زیر منحنی در شکل ۲ و حجم تلفات همین آبگیر در گزینه ۱۲ (پس از اجرای عملیات بهره‌برداری) برابر سطح زیر منحنی در شکل ۳ می‌باشد.

#### محاسبه مقادیر شاخص‌ها

همانطور که قبلاً گفته شد در این تحقیق بمنظور کمی کردن عملکرد بهره‌برداری کanal، از مقادیر شاخص‌های راندمان (در حالت تحویل مازاد) و کفايت (در حالت تحویل کمبود آب) استفاده شده است. مقادیر این شاخص‌ها برای کلیه آبگیرها و همچنین کل کanal در تمامی گزینه‌ها (به جز گزینه‌های ۱ و ۲) تعیین و در جداول ۶ و ۷ نشان داده شده‌اند. بدلیل آنکه کفايت تحویل در کلیه سناریوهای افزایشی و راندمان تحویل در کلیه سناریوهای کاهشی ۱۰۰ درصد می‌باشد، از نوشتند این مقادیر در جداول صرف نظر شده است.

بمنظور محاسبه شاخص‌های راندمان و کفايت برای هر کدام از آبگیرهای کanal بصورت جداگانه

برآورد زمانی تغییرات جریان در طول کanal خطابی نداشته است. همچنین در مطالعات قبلی بمنظور کاربرد مدل ICSS در کanal E1R1 با استفاده از اطلاعات حاصل از اندازه‌گیری مستقیم میدانی شامل دبی ورودی به کanal، دبی هر دریچه، عمق آب بالادست هر دریچه و میزان بازشده‌گی هر دریچه و در طی اجراهای متعدد مدل ضرایب دریچه‌ها و ضریب مانینگ کالیبره شدند. معیار آزمون‌های کالیبراسیون انطباق قابل قبول دبی دریچه‌ها و عمق آب بالادست آنها که توسط مدل محاسبه شده با مقادیر اندازه‌گیری شده میدانی بوده است بطوریکه حداقل ۳ خطاب برای مقادیر دبی ۴ درصد و برای مقادیر عمق ۳ درصد مشاهده شده است (محسنی موحد الف، ۱۳۸۱). نتیجه تحقیقات فوق نشان می‌دهد که مدل دارای دقت خوبی در شبیه‌سازی جریانات غیرماندگار می‌باشد و با اطمینان مناسب می‌توان از آن در مسائل کاربردی در شبکه‌های آبیاری استفاده نمود.

#### مراحل تعیین دستورالعمل بهره‌برداری

با استفاده از نتایج شبیه‌سازی گزینه‌های مختلف بهره‌برداری از کanal E1R1 توسط مدل ICSS، دستورالعمل‌های بهره‌برداری متناسب با هر گزینه تعیین گردید. بمنظور تهیه دستورالعمل مناسب بهره‌برداری در هر کدام از سناریوهای تعیین شده ابتدا شرایط اولیه آبگیرهای مختلف در کanal با تنظیم ارتفاع سازه‌های آببند و بازشده‌گی دریچه‌ها تعیین گردید. سپس جریان ورودی در سراب کanal به منظور تأمین تغییرات دبی مورد نیاز آبگیرهای ۵ و ۶ به میزان ۲۰ درصد افزایش یا کاهش داده شد و زمان حرکت جریان غیرماندگار ایجاد شده تا محل سازه‌های مختلف بدون تنظیم این سازه‌ها تعیین و مقادیر دبی و عمق در محل این سازه‌ها بدست آمد. در مرحله بعد، همزمان با افزایش یا کاهش جریان در سراب کanal تنظیم سازه‌ها شامل تغییر در بازشده‌گی دریچه‌ها و/یا تغییر ارتفاع آببندها در زمان‌های بدست آمده از مرحله قبل جهت تحویل دبی مورد نیاز آبگیرها صورت گرفت.

اعلام می‌گردد. در مواردی که بیش از یک آبگیر یا همه آبگیرها باز باشند میتوان علاوه بر راندمان هر کدام از آبگیرها راندمان کل کanal را نیز اعلام نمود.

$\left( \frac{Q_r}{Q_d} \right)$  در این حالت ابتدا در هر گام زمانی مقادیر

برای هر تعداد آبگیر که باز باشند متوسط گرفته شده و سپس مانند حالت تک آبگیر در طول زمان بهرهبرداری متوسط زمانی گرفته می‌شود تا مقدار شاخص کل کanal تعیین گردد.

(بعنوان نمونه شاخص راندمان که برای آبگیر شماره ۵ در گزینه ۴ که در جدول شماره ۷ معادل ۰/۹۷

آمده است) مقادیر  $\left( \frac{Q_r}{Q_d} \right)$  در گام‌های زمانی

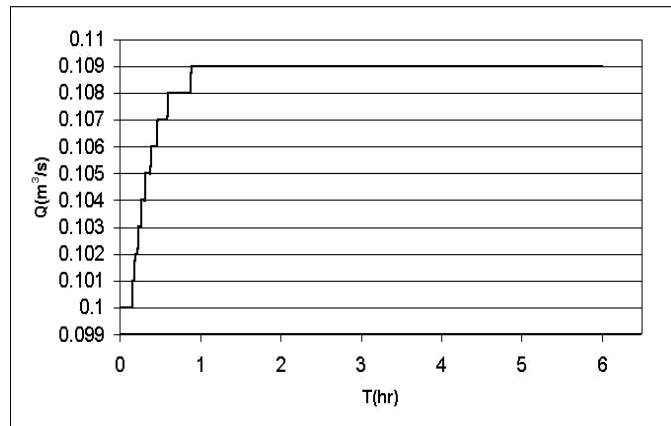
محاسباتی (۰/۰۱ ساعت) محاسبه شده‌اند. لازم به ذکر است که مقدار  $Q_r$  در طول بهرهبرداری ثابت و طبق سناریوی تعریف شده مشخص می‌باشد. پس از محاسبه این مقادیر در کل زمان بهرهبرداری (۶ ساعت) متوسط زمانی گرفته می‌شود و مقدار شاخص

جدول ۴: حجم مازاد یا کمبود آب قبل از انجام عملیات بهرهبرداری.

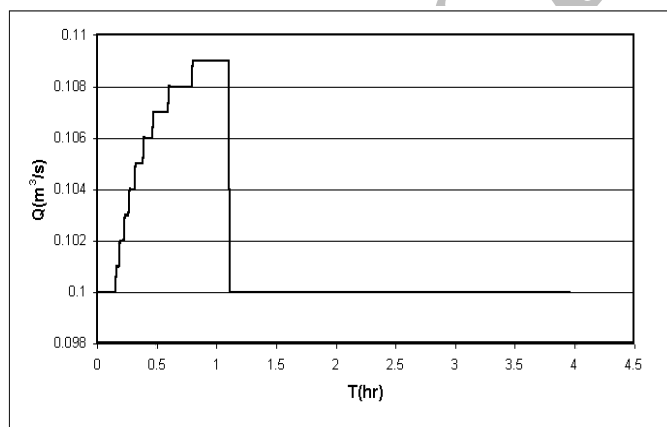
| حجم تلفات (مترمکعب) |           |         |         |         |         |          |
|---------------------|-----------|---------|---------|---------|---------|----------|
| مجموع               | پایین دست | آبگیر ۴ | آبگیر ۳ | آبگیر ۲ | آبگیر ۱ |          |
| ۴۱۳۸                | ۴۱۳۸      | -       | -       | -       | -       | گزینه ۳  |
| -۷۳۸۶               | -۷۳۸۶     | -       | -       | -       | -       | گزینه ۵  |
| ۴۸۹۵                | ۴۷۵۰/۱    | ۸۰/۲    | ۶۴/۷    | -       | -       | ۷        |
| -۸۸۹۰               | -۸۴۵۷/۲۷  | -۲۶۳/۶۱ | -۱۶۹/۱۲ | -       | -       | ۹        |
| ۳۸۶۱                | ۳۵۱۴/۱۲   | ۱۳۷/۷۸  | ۹۰/۲۳   | ۵۷/۱    | ۶۱/۷۷   | ۱۱       |
| -۶۵۲۰               | -۶۱۳۶/۵۲  | -۱۳۹/۷۰ | -۹۸/۵۹  | -۷۰/۵۶  | -۷۴/۶۳  | گزینه ۱۳ |

جدول ۵: حجم مازاد یا کمبود بعد از انجام عملیات بهرهبرداری.

| حجم تلفات (مترمکعب) |           |         |         |         |         |          |
|---------------------|-----------|---------|---------|---------|---------|----------|
| مجموع               | پایین دست | آبگیر ۴ | آبگیر ۳ | آبگیر ۲ | آبگیر ۱ |          |
| ۸۲۷/۶۴              | ۸۲۷/۶۴    | -       | -       | -       | -       | گزینه ۴  |
| -۱۵۴۰/۶۶            | -۱۵۴۰/۶۶  | -       | -       | -       | -       | گزینه ۶  |
| ۹۲۳/۷               | ۸۹۴/۳۸    | ۱۶/۳۸   | ۱۲/۹۴   | -       | -       | گزینه ۸  |
| -۱۷۲۶/۶۷            | -۱۶۳۳     | -۵۶/۰۸۸ | -۳۷/۵۸۴ | -       | -       | گزینه ۱۰ |
| ۶۱۳/۰۰              | ۵۵۰/۴۷    | ۲۳/۶۱   | ۱۷/۲۱۶  | ۹/۸۲۸   | ۱۱/۸۸   | گزینه ۱۲ |
| -۱۱۸۲/۴             | -۱۱۱۰/۸۱  | -۲۵/۳۴  | -۱۹/۲۶  | -۱۳/۱۷  | -۱۳/۸۲  | گزینه ۱۴ |



شکل ۲: تغییرات دبی تحویلی به آبگیر ۴ در گزینه ۱۱.



شکل ۳: تغییرات دبی تحویلی به آبگیر ۴ در گزینه ۱۲.

جدول ۶: مقادیر شاخص‌های راندمان و کفايت در حالت عدم انجام عملیات بهره‌برداری

| گزینه‌های افزایشی آبگیر | راندمان | راندمان کل کanal | گزینه‌های کاهشی | آبگیر | کفايت | کفايت کل کanal | گزینه ۳ |
|-------------------------|---------|------------------|-----------------|-------|-------|----------------|---------|
| ۰/۸۹                    | ۰/۸۹    | ۶ و ۵            | ۵               | ۰/۹۰  | ۰/۹۲  | ۶ و ۵          | ۰/۸۹    |
|                         | ۰/۹۱    | ۳                |                 |       | ۰/۹۰  | ۳              |         |
| ۰/۸۸                    | ۰/۸۹    | ۴                | ۹               | ۰/۹۱  | ۰/۹۱  | ۴              | ۰/۸۸    |
|                         | ۰/۸۷    | ۶ و ۵            |                 |       | ۰/۹۰  | ۶ و ۵          |         |
|                         | ۰/۹۲    | ۱                |                 |       | ۰/۹۱  | ۱              |         |
|                         | ۰/۹۱    | ۲                |                 |       | ۰/۹۲  | ۲              |         |
| ۰/۸۸                    | ۰/۹۱    | ۳                | ۱۳              | ۰/۹۰  | ۰/۹۱  | ۳              | ۰/۸۸    |
|                         | ۰/۸۹    | ۴                |                 |       | ۰/۸۹  | ۴              |         |
|                         | ۰/۸۳    | ۶ و ۵            |                 |       | ۰/۸۸  | ۶ و ۵          |         |

جدول ۷: مقدادیر شاخص‌های راندمان و کفايت در حالت انجام عملیات بهره‌برداری.

| گزینه‌های افزایشی | آبگیر | راندمان | راندمان کل کanal | گزینه‌های کاهشی | آبگیر | کفايت | کل کanal | گزینه ۴ |
|-------------------|-------|---------|------------------|-----------------|-------|-------|----------|---------|
| ۰/۹۶              | ۰/۹۶  | ۶ و ۵   | ۶                | گزینه ۶         | ۰/۹۷  | ۰/۹۷  | ۵ و ۶    | ۴       |
|                   | ۰/۹۸  | ۳       |                  |                 |       | ۰/۹۷  | ۳        |         |
| ۰/۹۴              | ۰/۹۴  | ۴       | ۱۰               | گزینه ۱۰        | ۰/۹۶  | ۰/۹۶  | ۴        | ۸       |
|                   | ۰/۹۳  | ۶ و ۵   |                  |                 |       | ۰/۹۶  | ۶ و ۵    |         |
|                   | ۰/۹۸  | ۱       |                  |                 |       | ۰/۹۶  | ۱        |         |
|                   | ۰/۹۷  | ۲       |                  |                 |       | ۰/۹۵  | ۲        |         |
| ۰/۹۳              | ۰/۹۷  | ۳       | ۱۴               | گزینه ۱۴        | ۰/۹۵  | ۰/۹۶  | ۳        | ۱۲      |
|                   | ۰/۹۶  | ۴       |                  |                 |       | ۰/۹۶  | ۴        |         |
|                   | ۰/۹۰  | ۶ و ۵   |                  |                 |       | ۰/۹۴  | ۶ و ۵    |         |

همزمان آبگیری می‌نمایند حجم مازاد یا کمبود آب تحویلی افزایش می‌یابد.

با مقایسه مقدادیر ارائه شده در جداول ۶ و ۷، نتایج حاصله را می‌توان بصورت زیر خلاصه نمود:  
۱- در تمام سناریوهای هر چه تعداد آبگیرهای بیشتری در بالادست باز باشند عملکرد تحویل راندمان و کفايت تحویل به آبگیرهای ۵ و ۶ کمتر شده است. عنوان نمونه در جدول ۶ مقدار راندمان تحویل به آبگیرهای ۵ و ۶ در گزینه ۱۱ برابر ۸۸/۰ و در گزینه ۳ برابر ۹۲/۰ می‌باشد.

۲- در سناریوهایی که آبگیرهای بالادست باز می‌باشند، با حرکت به سمت پایین دست کanal میزان عملکرد آبگیرها کاهش می‌یابد. به عبارت دیگر، گرچه هدف از افزایش یا کاهش جریان در سراب، تغییر تحویل آب به آبگیرهای ۵ و ۶ می‌باشد، اما در صورت باز بودن آبگیرهای بالادست، این تغییرات ابتدا آبگیرهای بالادست را تحت تأثیر قرار داده و سپس به آبگیرهای ۵ و ۶ می‌رسد. عنوان نمونه، در جدول ۶ در گزینه ۱۳ کفايت تحویل آبگیرهای ۵ و ۶ برابر ۰/۸۳ و آبگیر ۱ برابر ۰/۹۰ بدست آمده است.

۳- در کلیه گزینه‌ها، اجرای عملیات بهره‌برداری موجب بهبود شاخص‌های عملکرد آبگیرها و کل

## نتایج و بحث

در هر قسمت از کanal، بین زمان رسیدن آثار موج‌های مثبت و منفی و پیک این امواج (ماکریم) دبی یا می‌نیمم دبی) زمان قابل توجهی طی می‌شود. از آنجا که دستورالعمل بهره‌برداری در اکثر شیوه‌ها نیز براساس زمان رسیدن پیک موج ارائه می‌شود، لذا در این مدت در اثر کمبود یا مازاد تحویل آب به آبگیرهای کanal و یا کanal پائین‌دست، عملکرد کanal به میزان قابل توجهی کاهش می‌یابد. از مقایسه نتایج جداول ۴ و ۵ مشاهده می‌شود که احجام تلفات و کمبود آب تحویلی به آبگیرها بعد از انجام عملیات بهره‌برداری بمراتب کمتر از احجام قبل از انجام عملیات بهره‌برداری می‌باشند. همچنین دیده می‌شود که حجم کمبود آب تحویلی ناشی از ایجاد موج منفی در کلیه حالات بیشتر از حجم مازاد آب تحویلی ناشی از موج مثبت در گزینه مشابه می‌باشد. این امر بدلیل سرعت کمتر حرکت موج‌های منفی نسبت به امواج مثبت می‌باشد. عنوان نمونه، حجم کمبود آب تحویلی به آبگیر ۴ در گزینه ۱۰ (ایجاد موج منفی) برابر ۵۶/۰۸۸ مترمکعب و حجم مازاد آب تحویلی به همین آبگیر در گزینه ۸ (ایجاد موج مثبت) برابر ۱۶/۳۸ مترمکعب می‌باشد. همچنین ملاحظه می‌شود با افزایش تعداد آبگیرهایی که

باشد کارآیی تحویل آب به آبگیرها و کل کanal بالاتر خواهد بود. عنوان نمونه شکل ۴ تغییرات کفايت تحویل کل کanal در گزینه‌های ۶، ۱۰ و ۱۴ بترتیب با آبگیری همزمان آبگیرهای ۲، ۴ و ۶ را نشان می‌دهد.

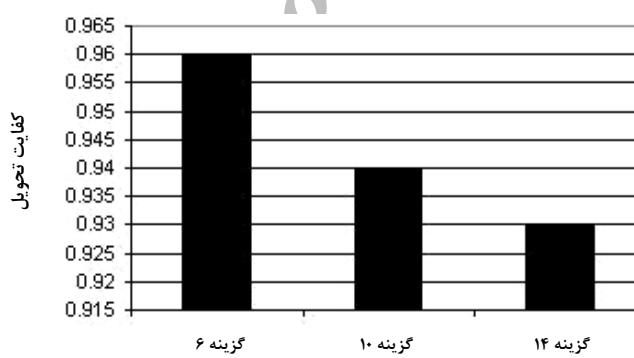
۷- در این تحقیق تعیین عملکرد تحویل و بهبود آن در شرایطی بدست آمده که دبی پایه کanal  $m^3 s^{-1}$  ۱ می‌باشد و درصد افزایش دبی آبگیرهای ۵ و ۶ ۲۰ درصد بوده و یا دبی پایه کanal  $m^3 s^{-1}$  ۱/۵ بوده و درصد کاهش دبی آبگیرهای ۵ و ۶ ۲۰ درصد می‌باشد. بنظر می‌رسد چنانچه دبی پایه کanal بیشتر باشد و درصد تغییرات نیاز بیش از این مقدار باشد تفاوت عملکرد آبگیرهای بالادست و پایین دست، تفاوت عملکرد سیستم در شرایط افزایش و کاهش دبی و میزان بهبود عملکرد تحویل در اثر اجرای عملیات بهره‌برداری مناسب بیشتر خواهد بود.

کanal گردیده است. در کلیه گزینه‌ها حداکثر بهبود عملکرد ۷ درصد می‌باشد.

۴- به دلیل زمان طولانی‌تر حرکت امواج منفی در کanal‌ها، عملکرد تحویل سناریوهای کاهش جریان پایین‌تر از عملکرد تحویل سناریوهای افزایش جریان است. عنوان نمونه همانطور که از جداول ۶ و ۷ دیده می‌شود کفايت کanal در کلیه گزینه‌های کاهشی کمتر از راندمان کanal در گزینه‌های مشابه افزایشی می‌باشد.

۵- اجرای عملیات بهره‌برداری مناسب موجب بهبود عملکرد تحویل می‌گردد. عنوان نمونه راندمان کل کanal در حالت اجرای عملیات بهره‌برداری در گزینه ۱۴ برابر ۰/۹۳ و در صورت عدم اجرای عملیات بهره‌برداری (گزینه ۱۳) برابر ۰/۸۸ می‌باشد. میزان بهبود عملکرد می‌تواند معیاری جهت انتخاب عملیات بهره‌برداری مناسب باشد.

۶- در مجموع می‌توان اظهار داشت هر چه تعداد آبگیرهایی که همزمان آب دریافت می‌کنند کمتر



شکل ۴: تغییرات کفايت تحویل در گزینه‌های مختلف

بالادست و پایین دست و تفاوت عملکرد سیستم در شرایط افزایش یا کاهش جریان ضعیفتر از وضعیت مورد بررسی خواهد بود. همچنین کاربرد عملیات بهره‌برداری مناسب در این شرایط موجب بهبود چشمگیر و قابل توجه عملکرد کanal خواهد شد که می‌تواند معیار مناسبی جهت اینگونه بررسی‌ها و توجیه اجرای عملیات بهره‌برداری در شرایط واقعی باشد.

۸- در این تحقیق، برای سهولت شبیه‌سازی و بررسی موضوع، بخشی از کanal E1R1 از شبکه آبیاری دز با ۶ آبگیر در نظر گرفته شد. در شرایط واقعی طول کanal‌ها و تعداد آبگیرهایی که همزمان آبگیری می‌نمایند، بیشتر می‌باشند. در این شرایط، عملکرد کanal در حالت بهره‌برداری معمول از نظر حجم مازاد یا کمبود آب، کفايت و راندمان تحویل آب، تفاوت عملکرد آبگیرهای

## منابع

۱. کسب‌دوز، ش.، منعم، م. ج. و کوچک‌زاده، ص. ۱۳۷۷. کاربرد مدل هیدرودینامیک ICSS-POM در تعیین مناسب‌ترین گزینه توزیع آب در شبکه آبیاری قوری‌چای. مجموعه مقالات نهمین همایش کمیته ملی آبیاری و زهکشی. تهران. ۱۳-۲۱.
۲. فرسادی‌زاده، د. ۱۳۸۵. کنترل کانال‌های آبیاری با استفاده از روش بهینه‌سازی عددی. پایان نامه دکتری، تأسیسات آبیاری، دانشکده کشاورزی، دانشگاه تبریز.
۳. محسنی‌موحد، س. ا. ۱۳۸۱ (الف). تهیه مدل ریاضی بهینه‌سازی عملکرد هیدرولیکی کانال‌های آبیاری با استفاده از روش آنیلینگ شبیه‌سازی شده (SA) و تعیین ارزش نسبی شاخص‌های ارزیابی. پایان نامه دکتری، آبیاری و زهکشی، دانشکده کشاورزی، دانشگاه تربیت مدرس.
۴. محسنی‌موحد، س. ا. و منعم، م. ج. ۱۳۸۱(ب). بهینه‌سازی عملکرد بهره‌برداری کانال‌های آبیاری با استفاده از روش SA. مجله علوم پایه دانشگاه آزاد اسلامی، شماره ۴۴، ۳۵۷۵-۳۵۶۵.
۵. منعم، م. ج. ۱۳۷۵. معرفی مدل مشابه‌سازی شبکه‌های آبیاری و بهینه‌سازی بهره‌برداری از آنها. مجموعه مقالات هشتمین سمینار کمیته ملی آبیاری و زهکشی ایران. تهران. ۱-۲۳.
۶. منعم، م. ج. ۱۳۷۸. آزمون کاربرد مدل ریاضی ICSS-POM در شرایط واقعی کانال‌های آبیاری. مجموعه مقالات دومین کنفرانس هیدرولیک ایران. دانشگاه علم و صنعت ایران. ۱۲۴-۱۱۹.
7. Amein, M. 1968. An implicit method for numerical flood routing. *J. Water Resources Research*. 4(4): 719-726.
8. Henderson, F. M. 1966. Open channel flow. Macmillan Publishing Co. NewYork.
9. Manz, D. H. 1985. System analysis of irrigation conveyance system. PhD thesis, Dept. of Civil Engineering, Univ. of Alberta, Edmonton, Alberta, Canada.
10. Khalsa, R. D., Styles, S., Burt, C. and Norman, B. 2002. Installation control structures on the government highline canal. Conference on benchmarking irrigation system performance using water measurement and water balances, San Luis Obispo, CA, 30-41.
11. Molden, D. J. and Gates, T. K. 1990. Performance measures for evaluation of irrigation water delivery systems. *J. Irrigation and Drainage Eng.*, 116(6): 804-822.
12. Monem, M. J. and Schuurmans, W. 1992. Performance of canal delivery strategies and control system. International Seminar on the Application of Mathematical Modelling for the Improvement of Irrigation Canal Operation, Montpellier, France, 307-315.
13. Schuurmans, W., Leeuwen, P. and Kruiningen, F. E. 2002. Automation of the Rijnland storage basin, the Netherlands. *Lowland technology international*, 13-20.
14. Strelkoff, T. 1969. One dimensional equation of open channel flow. *J. Hydraulics Division.*, 7(5): 861-876.
15. The Canadian society for civil Engineering Task Committee on River Models. 1990. Comparative evaluation of river models, Vol. V of the proceedings of the annual Conference of the CSCE, May 1990, Hamilton, Ontario, Canada., 282-300.
16. Tresk, A. 1980. Experimental Uperpristung numerischer Berechung suertatinen von Hochwasserwellen, in Blind: Report of Hydraulic Research station Tu Munchen, 44: 1-33.

## Quantifying operation performance of irrigation canals in response to demand variation using hydrodynamic model and analysis of unsteady flow

Monem<sup>1</sup>, M. J., Ghodousi<sup>2</sup>, H. and Emadi<sup>3</sup>, A. R.

### Abstract

Because of water requirement increase, the efficiency of irrigation water must improve especially in areas with limited water resources. In order to improve physical performance of hydraulic systems, some efforts has been done, but the lack of fiscal resources is the main problem for performance improvement of irrigation networks. Therefore, the proper management of system is the practical method for efficiency improvement. One of the major sources of water loss in irrigation canals is unsteady flow. Water delivery and distribution schedules are one of the sources of unsteady flow in irrigation networks. In this research, for quantifying operational performance, unsteady flow in E1R1 canal of Dez irrigation network is simulated using ICSS hydrodynamic model. Performance indicators are determined under two conditions of operation and non-operational of structures and 6 hours water delivery. The results show that using hydrodynamic model and analysis of unsteady flow can quantify operation performance of irrigation canals. Furthermore the application of suitable operation instruction in response to unsteady flow can improve the performance of the system.

**Keywords:** performance improvement, hydrodynamic model, irrigation network, unsteady flow

- 
1. Associate Professor, Department of Hydro-structures, Faculty of Agriculture, Tarbiat Modares University
  2. Assistant Professor, Department of Irrigation Engineering, Faculty of Agriculture, Zanjan University
  3. Assistant Professor, Department of Irrigation Engineering, Faculty of Agriculture, Mazandaran University